

## Synthesis of aragonite precipitated calcium carbonate by homogeneous precipitate reaction of $\text{Ca}(\text{OH})_2$ and $\text{Na}_2\text{CO}_3$

Jin-Koo Park<sup>†</sup>, Hyun-Seo Park\*, Ji-Whan Ahn, Hwan Kim\*\* and Charn-Hoon Park\*

Minerals & Materials Processing Division, Korea Institute of Geoscience & Mineral Resources, Taejon 305-350 Korea

\*Mineral and Energy Resources Eng., Inha Univ., Incheon 402-751, Korea

\*\*School of Materials Science & Eng., Seoul National Univ., Seoul 151-742, Korea

(Received May 19, 2004)

(Accepted June 2, 2004)

**Abstract** Formation behavior of aragonite precipitated calcium carbonate was investigated with changed the concentration of  $\text{Na}_2\text{CO}_3$  solution and addition method which added in the  $\text{Ca}(\text{OH})_2$  slurry at 75°C. In this reaction, we found that  $\text{Na}^+$  ions were substituted into  $\text{Ca}^{2+}$  ion site then disturb the growth of calcite, and while proceed the crystal growth in a certain direction and promote the formation of aragonite. Also, a decrease of reaction rate by control the concentration of  $\text{CO}_3^{2-}$  ion, induce the homogeneous precipitate reaction and increase substitution ability of  $\text{Na}^+$  ions, consequently it was promote the formation and growth of aragonite.

**Key words** Precipitated calcium carbonate, Aragonite, Homogeneous precipitate reaction

## $\text{Ca}(\text{OH})_2$ 및 $\text{Na}_2\text{CO}_3$ 수용액의 균일침전 반응에 의한 아라고나이트 침강성 탄산 칼슘의 합성

박진구<sup>†</sup>, 박현서\*, 안지환, 김환\*\*, 박찬훈\*

\*한국지질자원연구원 자원활용소재연구부, 대전, 305-350

\*인하대학교 자원공학과, 인천, 402-751

\*\*서울대학교 신소재공동연구소, 서울, 151-742

(2004년 5월 19일 접수)

(2004년 6월 2일 심사완료)

**요약** 반응온도 75°C에서  $\text{Ca}(\text{OH})_2$  slurry 및  $\text{NaOH}$ 의 혼합용액에  $\text{Na}_2\text{CO}_3$  수용액의 농도 및 첨가방법을 변화시키면서 아라고나이트 침강성 탄산칼슘의 생성거동을 관찰하였다. 이 반응에서  $\text{Na}^+$  이온은 탄산칼슘 격자내의  $\text{Ca}^{2+}$  이온 자리에 치환되어 칼사이트의 성장을 저연시키고, 특정방향으로의 결정성장이 진행되어 침상형 아라고나이트의 생성을 유리하게 하는 것을 알 수 있었다. 또한,  $\text{CO}_3^{2-}$  이온농도 조절에 의한 반응속도의 감소는 균일침전반응을 유도하고,  $\text{Na}^+$  이온의 치환능력을 증대시켜 아라고나이트의 생성 및 성장을 촉진하는 것으로 판단되었다.

### 1. 서 론

침강성 탄산칼슘은 침전 형성 시 용액에서의 반응 조건 즉, 용액의 조성, pH, 온도, 과포화도, 교반 속도, 이온 및 seed의 첨가와 종류 등의 영향에 의해 석출되는 상(phase)과 형상(morphology) 및 입자크기가 달라진다 [1-2]. 탄산칼슘은 열역학적으로 상온상압 하에서 안정

하여 자연계에서 석출되기 쉬운 calcite와 불안정상인 aragonite, vaterite의 동질이상형을 가지고 있다. 이들 중, 아라고나이트 침강성 탄산칼슘은 aspect ratio(결정의 크기)에 대한 길이의 비, 장경비)가 매우 큰 침상형으로서 고무, 플라스틱, 도료의 충전제나 제지용의 안료 등 공업 원료로 이용했을 때, 강도 증진은 물론 침상형의 복잡한 표면구조로 인해 백색도 향상 및 불투명도 조절이 가능해져 기계적 · 광학적 기능성을 부여할 수 있는 새로운 기능성 무기 분체로서 대용 가능하다.

그러나 아라고나이트 침강성 탄산칼슘은 대기압 중에서 매우 불안정하여 칼사이트로의 전이 속도가 빨라 합

<sup>†</sup>Corresponding author

Tel: +82-42-868-3487

Fax: +82-42-861-3990

E-mail: parkjk714@hanmir.com

성이 매우 어려운 것으로 알려져 있으며, 이를 극복하기 위한 연구들이 많이 진행되어 왔다. Wray 등은 과포화 용액에서 준안정상의 아라고나이트와 vaterite의  $\text{CaCO}_3$ , polymorph의 연구에서 반응온도가 올라감에 따라 아라고나이트의 석출비율이 점차 증가한다고 보고하였으며 [2], Lippman, Kojima 등은 과포화 용액에서의 칼사이트와 아라고나이트의 핵 생성 속도 및 결정성장 속도의 비교를 통해 준안정상인 아라고나이트의 석출에 미치는 온도 영향을 고찰하였다[3].

최근 수용액법을 이용한 아라고나이트 합성에 대한 연구 결과를 보면 Kitamura 등이  $\text{Na}_2\text{CO}_3$ 의 첨가속도, 반응용액의 pH, 교반속도 및 scale up 등이 침상형 아라고나이트 생성에 미치는 영향을 보고하였으며[4], Konno 등은  $[\text{Ca}^{2+}]$ 와  $[\text{CO}_3^{2-}]$  이온의 영향과  $\text{NaOH}$ 의 첨가가 모든 온도조건에서 아라고나이트 생성을 촉진시킨다고 보고하였다[5].

그러나 이러한 연구 결과들은 특정조건에만 적용이 가능하여 다소 제한적이며, 다양한 반응인자가 생성상에 미치는 영향에 대한 일관성 있는 해석과 특히 첨가이온 및 반응속도 변화에 의한 아라고나이트 생성 기구 규명에 대한 고찰이 부족하였다.

본 연구에서는  $\text{Ca}(\text{OH})_2$  및  $\text{Na}_2\text{CO}_3$  수용액의 반응을 이용하여 균일하고 aspect ratio가 향상된 아라고나이트 침강성 탄산칼슘을 합성하고자 하였으며, 첨가되는  $\text{Na}_2\text{CO}_3$  수용액의 농도변화 및  $\text{NaOH}$  수용액의 첨가가 생성상에 미치는 영향을 고찰하였다.

## 2. 실험 방법

시약으로는  $\text{Ca}(\text{OH})_2$ (95 %, Junsei chemical Co., Ltd.),

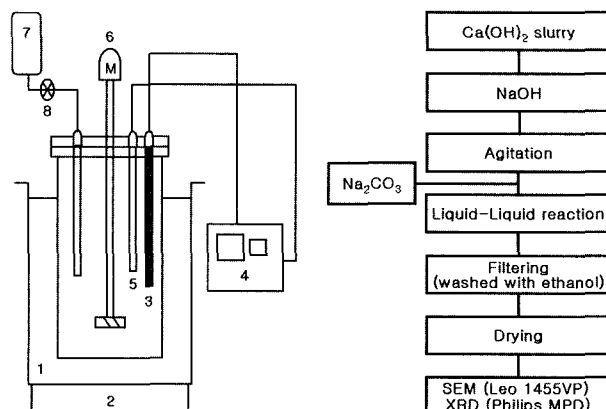


Fig. 1. Schematic diagram of experimental apparatus and experimental procedure. 1. Reactor 2. Water bath 3. pH electrode 4. pH Meter 5. Thermometer 6. Stirrer 7.  $\text{Na}_2\text{CO}_3$  solution 8. regulator.

$\text{Na}_2\text{CO}_3$ (99 %, Junsei Chemical Co., Ltd.) 및  $\text{NaOH}$  (98 %, DC Chemical Co., Ltd.)을 사용하였다. 반응에 사용된 반응기는 Pyrex 유리로 제작된 직경 10 cm, 높이 13 cm인 1.0 l 용량의 원통형이며, 반응용액의 온도를 조절하기 위해 Water bath(Jeio Tech, WB02)를 사용하였다. 반응용액의 혼합과 균일한 반응을 유지시키기 위해 4 cm 길이의 impeller가 장착된 stirrer를 사용하였다.

Fig. 1은 본 실험에 사용된 실험장치의 개략도와 탄산칼슘의 합성 및 분석과정을 순서도로 나타낸 것이다.

반응을 위해 먼저 1 l의 용기에 1.5 M의  $\text{Ca}(\text{OH})_2$  slurry와 1 M의  $\text{NaOH}$ 의 혼합용액을 만든 후, 미리 제조한 1.5 M의  $\text{Na}_2\text{CO}_3$  수용액을 3 ml/min의 속도로 첨가하면서 400 rpm의 속도로 교반하였다. 또한,  $\text{Na}_2\text{CO}_3$  수용액의 농도( $7.50 \times 10^{-4}$ ~ $1.88 \times 10^{-4}$  M) 및 온도(40~75°C)를 변화시키면서 그 침전거동을 관찰하였다.

합성된 시료는 잔류하는 이온 성분들을 제거하기 위해 Ethanol로 2~3회 씻어주며 여과하고, 건조시킨 후 진공 상태로 보관하였다. 생성된 분말의 상 분석을 위해 XRD (Philips MPD)를 사용했고, 생성상의 형상 및 aspect ratio는 SEM(Leo 1455VP) 분석을 통해 확인하였다.

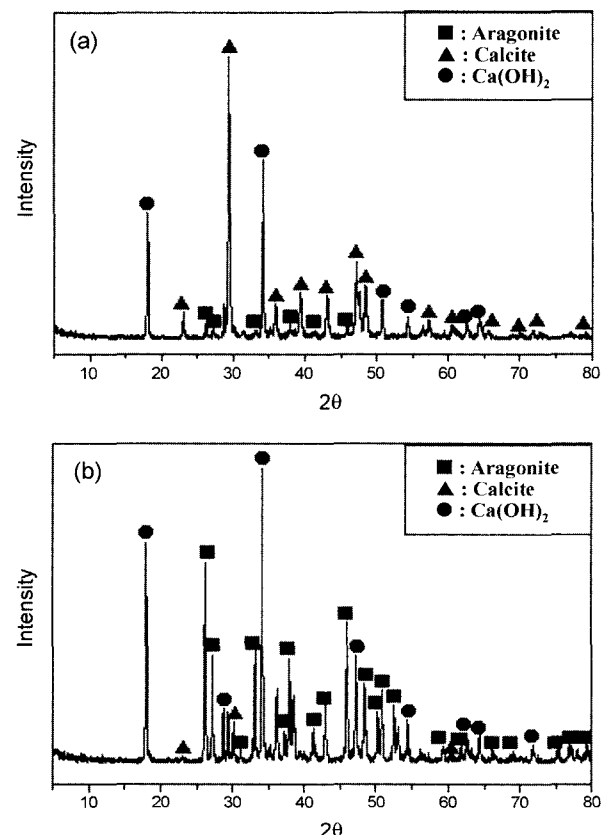


Fig. 2. XRD patterns for precipitated calcium carbonate prepared by 13.2 wt%  $\text{Ca}(\text{OH})_2$  and 1.6 M  $\text{Na}_2\text{CO}_3$  (stirring rate : 400 rpm, reaction time : 2 hr, reaction temperature : 75°C).

### 3. 결과 및 고찰

Fig. 2에는 13.2 wt%의  $\text{Ca}(\text{OH})_2$  slurry와 1.6 M의  $\text{Na}_2\text{CO}_3$  수용액을 400 rpm으로 교반하면서 2시간 반응시켜 얻은 침전물의 XRD 분석 결과를 나타내었다. 일 반적으로 아라고나이트는 고온 영역에서 합성되는 것으로 알려져 있지만 Fig. 2에 의하면 75°C 온도 조건에서도  $\text{Ca}(\text{OH})_2$ 와  $\text{Na}_2\text{CO}_3$ 의 혼합 방법에 따라 아라고나이트의 생성수율이 현저하게 변화되는 것을 관찰할 수 있었다. 즉,  $\text{Ca}(\text{OH})_2$ 와  $\text{Na}_2\text{CO}_3$  수용액을 동시에 반응시켰을 때(a)는 주로 칼사이트 peak가 관찰되었지만,  $\text{Na}_2\text{CO}_3$  수용액을 3 ml/min의 속도로 천천히 떨어뜨리면서 반응시켰을 때(b)는 칼사이트 peak가 현저히 줄어들면서 아라고나이트 peak가 성장한 것을 알 수 있었다. 그러나 이와 같은 반응 시, 고온에서 용해도가 감소하는  $\text{Ca}(\text{OH})_2$ 가 반응하지 않고 잔류하는 것으로 관찰되어  $\text{Ca}(\text{OH})_2$ 의 용해도를 증가시키고 아라고나이트 생성수율을 높여야 할 필요성이 있음을 알 수 있었다.

Fig. 3에는  $\text{Ca}(\text{OH})_2$  및  $\text{NaOH}$  혼합용액에  $\text{Na}_2\text{CO}_3$  수용액을 3 ml/min의 속도로 첨가하면서 반응시켰을 때 생성된 침전물에 대한 XRD pattern을 나타내었다. Fig. 3에 의하면  $\text{NaOH}$  용액을 첨가했을 때, 아라고나이트의 생성수율이 미세하게나마 증가하는 것으로 나타났으며, 이는 이온 반경이 작은  $\text{Na}^+$  이온이  $\text{Ca}^{2+}$  이온 자리에 치환되어 격자의 distortion을 일으키며, 입방형태인 칼사

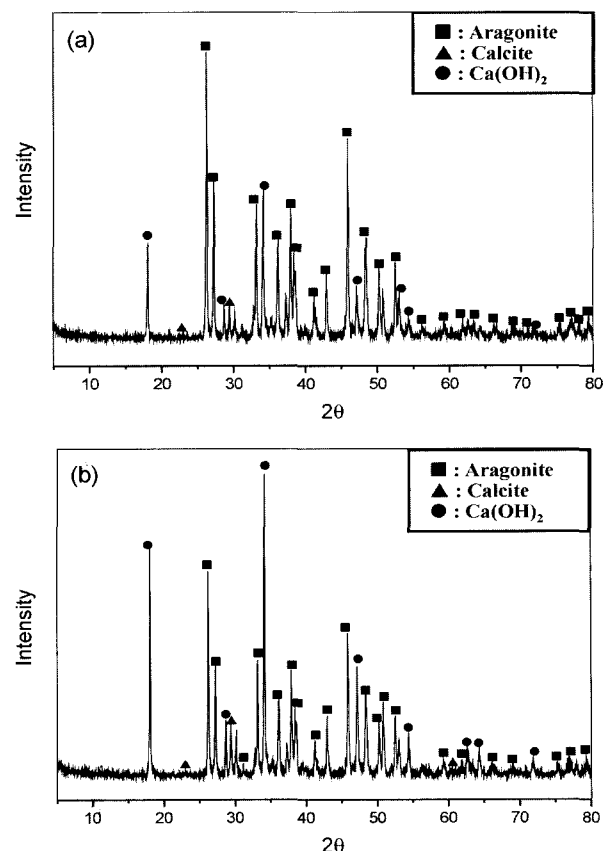


Fig. 3. XRD patterns for precipitated calcium carbonate prepared by  $\text{Ca}(\text{OH})_2$  and  $\text{Na}_2\text{CO}_3$  with addition of  $\text{NaOH}$  (a) or not (b).

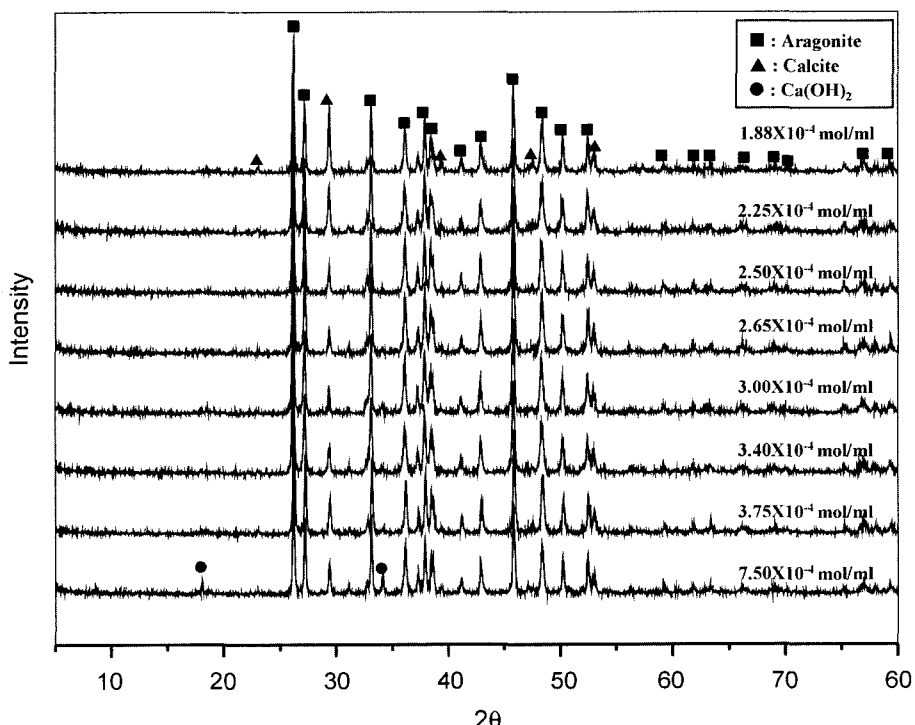


Fig. 4. XRD patterns for precipitated calcium carbonate prepared by  $\text{Ca}(\text{OH})_2$  and various concentration of  $\text{Na}_2\text{CO}_3$ .

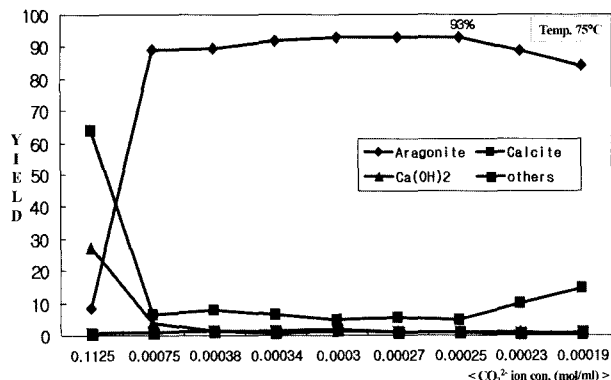


Fig. 5. Crystallinities of precipitated calcium carbonate prepared by various concentration of  $\text{Na}_2\text{CO}_3$ .

이트 구조로의 성장을 억제하는 반면, 특정방향으로의 결정성장이 진행되는 침상형 아라고나이트의 생성이 촉진되는 것으로 판단된다.

Fig. 4에는  $\text{Ca}(\text{OH})_2$  용액에 첨가되는  $\text{Na}_2\text{CO}_3$  수용액의 농도를  $7.50 \times 10^{-4}$ ~ $1.88 \times 10^{-4}$  M까지 변화시키고 3 ml/min 속도로 떨어뜨리면서 아라고나이트 생성 거동을 관찰한 결과이다. Fig. 4의 XRD pattern에 나타난 것과 같이  $\text{Na}_2\text{CO}_3$ 의 농도가 감소할수록 아라고나이트의 생성 수율은 증가하는 반면, 칼사이트 및 미반응  $\text{Ca}(\text{OH})_2$ 의 생성수율은 감소하는 것을 알 수 있었다. 따라서, 낮은 농도의  $\text{Na}_2\text{CO}_3$  첨가는  $\text{Ca}^{2+}$  이온과  $\text{CO}_3^{2-}$  이온의 반응 속도를 감소시켜 반응용액 내에서 균일침전 반응을 유도시키며,  $\text{Ca}(\text{OH})_2$ 의 용해도를 지속적으로 증가시켜 미

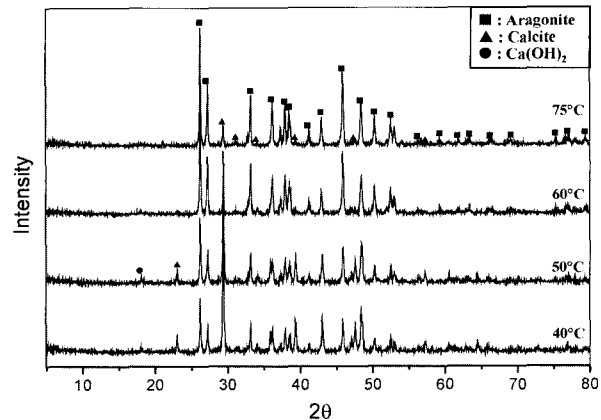


Fig. 6. XRD patterns and SEM photographs for precipitated calcium carbonate prepared by  $\text{Ca}(\text{OH})_2$  and  $2.50 \times 10^{-4}$  M  $\text{Na}_2\text{CO}_3$  at the various temperatures.

반응  $\text{Ca}(\text{OH})_2$ 를 없앨 수 있는 것으로 확인되었다. 또한, 반응속도가 감소하면서  $\text{Na}^+$  이온이  $\text{Ca}^{2+}$  이온 자리에 치환될 수 있는 확률이 증가하여 칼사이트 결정으로의 성장보다는 침상형 아라고나이트의 생성 및 성장에 이로운 것으로 생각된다. 그러나  $2.50 \times 10^{-4}$  M 보다 낮은 농도의  $\text{Na}_2\text{CO}_3$  수용액을 첨가하면서 반응시켰을 경우에는 오히려 칼사이트 peak가 증가하는 것으로 관찰되어  $\text{CO}_3^{2-}$  이온의 농도변화에 따른 아라고나이트 생성수율 변화에는 한계점이 있는 것으로 나타났다.

Fig. 5는 각 농도의  $\text{Na}_2\text{CO}_3$  수용액을 반응시켰을 때 생성된 침전물에 대한 결정화도 분석결과로서  $\text{Ca}^{2+}$  이온 농도와  $\text{CO}_3^{2-}$  이온농도의 비( $[\text{Ca}^{2+}]/[\text{CO}_3^{2-}]$ )가  $10^4$  이상일

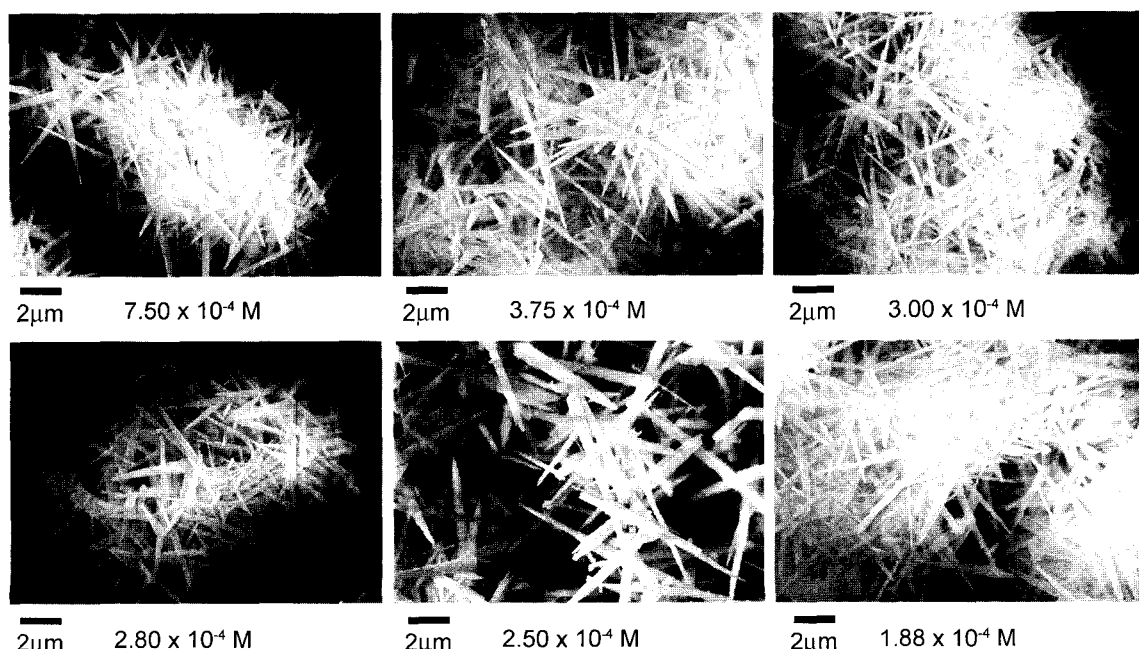


Fig. 7. SEM photographs of precipitated calcium carbonate by various concentration of  $\text{Na}_2\text{CO}_3$ .

때, 90 % 이상의 아라고나이트 생성수율을 얻을 수 있었으며, 특히  $2.50 \times 10^{-4}$  M의  $\text{Na}_2\text{CO}_3$  수용액을 반응시켰을 때 가장 높은 아라고나이트 생성수율(93.0 %)을 나타내었다. 그러나 Fig. 5의 XRD 분석 결과와 마찬가지로  $2.50 \times 10^{-4}$  M 보다 낮은 농도의  $\text{Na}_2\text{CO}_3$  수용액과의 반응에서는 아라고나이트의 생성율이 감소하고 칼사이트 생성율이 증가하였다.

또한, 이러한 결과는 고온영역( $75^\circ\text{C}$ )에서 더욱 뚜렷하게 나타나는 것을 Fig. 6의 반응온도에 따른 침전물의 XRD 분석 결과로부터 확인할 수 있었으며, 이는 반응온도 상승에 따라 아라고나이트의 석출비율이 증가함을 나타내는 것이다[2, 5].

Fig. 7에는 각 농도의  $\text{Na}_2\text{CO}_3$  수용액의 반응으로 생성된 침전물에 대한 SEM 분석 결과를 나타내었다. Fig. 7에 의하면 XRD 분석에서 나타난 것과 같이 침상 형태의 아라고나이트가 생성된 것을 확인할 수 있으며,  $2.50 \times 10^{-4}$  M까지  $\text{Na}_2\text{CO}_3$  수용액의 농도가 감소함에 따라 아라고나이트의 생성수율(93 %)과 함께 aspect ratio (~40)가 향상되는 것을 확인할 수 있었다.

#### 4. 결 론

13.2 w%의  $\text{Ca}(\text{OH})_2$  slurry 및 1.0 M의 NaOH 혼합용액과 1.6 M의  $\text{Na}_2\text{CO}_3$  수용액 반응을 통한 아라고나이트 침강성 탄산칼슘 합성하여 다음과 같은 결론을 얻었다.

- 1)  $\text{Ca}(\text{OH})_2$  slurry에  $\text{Na}_2\text{CO}_3$  수용액을 3 ml/min의 속도로 떨어뜨리면서 반응시켰을 때, 칼사이트 생성이 현저히 감소하면서 아라고나이트 생성수율이 증가하였다.

- 2) 반응시 NaOH 수용액의 첨가는  $\text{Ca}^{2+}$  이온 자리에  $\text{Na}^+$  이온의 치환을 유도하여 특정방향으로의 결정 성장이 진행 되면서 침상형 아라고나이트의 생성이 촉진되는 것으로 판단되었다.

- 3)  $\text{Ca}^{2+}$  이온과  $\text{CO}_3^{2-}$  이온의 반응 속도 감소에 의한 균일침전 반응은  $\text{Na}^+$  이온이 치환될 수 있는 확률을 증가시켜 아라고나이트의 생성을 촉진시켰지만  $\text{Na}_2\text{CO}_3$  농도 감소에 따른 아라고나이트 생성수율 변화에는 한계점이 있는 것으로 나타났다.

- 4)  $\text{Na}_2\text{CO}_3$ ,  $2.50 \times 10^{-4}$  M의 농도에서 93 %의 생성수율과 6~40의 aspect ratio(장경 :  $4.54\sim9.28 \mu\text{m}$ , 단경 :  $0.25\sim0.65 \mu\text{m}$ )를 갖는 침상형 아라고나이트가 생성되었으며, 온도 상승에 따라 생성수율 및 aspect ratio는 향상되었다.

#### 참 고 문 헌

- [ 1 ] O. Sohn and J.W. Mullin, "Precipitation of calcium carbonate", *J. Crystal Growth* 60 (1982) 239.
- [ 2 ] J.L. Wray and F. Daniels, "Precipitation of calcite and aragonite", *J. Am. Chem. Soc.* 79 (1957) 2031.
- [ 3 ] F. Lippmann, "Sedimentary carbonate minerals", Springer-Verlag (1973).
- [ 4 ] M. Kitamura *et al.*, "Controlling factors and mechanism of reactive crystallization of calcium carbonate polymorphs from calcium hydroxide suspensions", *J. of Crystal Growth* 236 (2002) 323.
- [ 5 ] H. Konno *et al.*, "Effect of NaOH on aragonite precipitation in batch and continuous crystallization in causticizing reaction", *Powder Technology* 129 (2003) 15.